

### III-49 衝撃荷重による高含水砂の締固めについて

関西大学大学院 学生員 楠見晴重  
関西大学工学部 正会員 谷口敬一郎

#### 1. 緒言

砂質土の締固めには振動、衝撲荷重がよく利用されている。しかし、それらを利用したときの締固まりの機構については、まだ明らかにされていない部分が多いように思われる。筆者らは、粒径の異なる数種類の不飽和状態の砂について、鉛直方向の正弦振動を与えた場合の締固め機構についての実験的結果を報告した。また、衝撲荷重を用いた場合、低い含水状態の砂質土において、締固め密度は、衝撃回数、最大加速度、含水比、均等係数によることを明らかにした<sup>2)</sup>。

本研究は、上述した結果に基づき、高い含水比状態にある砂質土に爆破等に類似した衝撲荷重を与えた場合の締固まりの機構について、実験的に行なったものである。その結果、締固めの機構は振動荷重の場合と同様、間隙水圧の影響が大きいことが判明した。

#### 2. 実験方法

実験装置は図-2を示したように、振動台上にアクリル製円筒容器（内径18.1cm、高さ60cm、肉厚1cm）を垂直に固定したものである。この容器内にある含水比に調整した試料を一定量

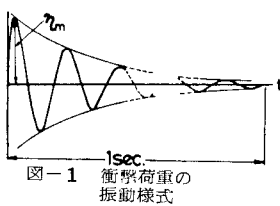


図-1 衝撲荷重の振動様式

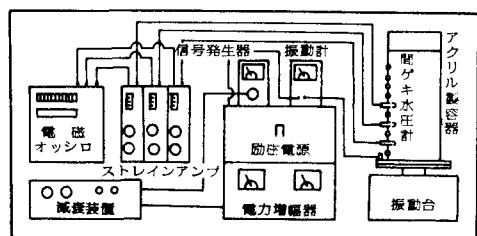


図-2 実験装置

として状態となるよう、また飽和度が70%前後となるように砂層を作製した。この砂層に図-1に示したように、周波数30Hz、作用時間1秒の鉛直方向減衰振動を表面若干がほぼ一定となるまで与えて、各回の沈下量を測定した。なお与えた減衰振動は、最大加速度比 ( $a/g$ ) : 重力加速度  $\gamma_m = 3.85, 1.92, 1.44, 0.96$  の4種類を用いた。周波数および作用

時間については、実際の発破における振動様式を考慮して決定した。間隙水圧計は、砂層底面から10cm, 20cm, 30cmの3ヶ所に取り付け、衝撲時の間隙水圧を測定した。実験に用いた砂としては、表-1に示したような2種類の砂を用いた。ここで粗粒砂とは、粒径範囲2.00~0.42mmの均等な砂である。

#### 3. 実験結果および考察

砂質土の動的締固めの特性として、締固め密度変化は、動的荷重の加速度に依存することが既に明らかにされている。このような概念に基づいて含水比  $W=24.0\%$  の粗粒砂における、衝撲荷重の最大加速度比  $\gamma_m$  と間隙比  $e$  の関係を、衝撲回数  $n$  をパラメータとして示したのが図-3である。ここで図中の点線は初期間隙比  $e_0$  である。この図より、  $\gamma_m$  が大きいほど各衝撲回数ごとの  $e$  の変化量が大きくなっている。原地盤での実際の発破において、爆源に近いほど大きな加速度が得られ、地盤表面がクレーター状に変形する。図-3をそのような形状変化と比較するとほぼ同様の傾向を呈しており、川砂についてもほぼ同じ結果が得られている。

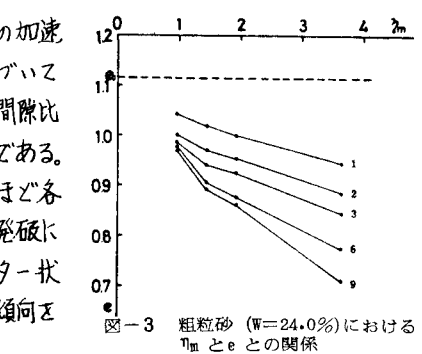


図-3 粗粒砂 ( $W=24.0\%$ ) における  $\gamma_m$  と  $e$  の関係

図-4, 5は川砂( $w=21.0\%$ ),粗粒砂の異なった下における締固め密度(乾燥密度)とNとの関係を示したものである。両図中の点線は、その衝撃回数において砂層表面に出水したことを示している。なお粗粒砂においては $\gamma_m=3.85$ のみ出水が観察された。この両図より、砂層表面に出水が観察された場合と、そうでない場合とは反 $-N$ 曲線形状は異なる、たものとなっている。すなわち、出水がない場合、ある回数において締固め密度はほぼ一定値に落ち着いて、位含水砂の場合と同様の挙動を示している。しかし、出水が観察された場合、Nが増加しても反 $-N$ 曲線は一定値に落ち着き難く、出水以後ほぼ直線的に増加している。以上の相異は、衝撃時の間隙水圧の発生状況によるものと考えられる。図-6は衝撃時の間隙水圧変化の模式記録である。ここで最大間隙水圧を $U_d$ 、残留間隙水圧を $U_r$ とする。 $U_d$ とは衝撃後数分間、砂層を放置すると間隙水圧は0にならず一定の値となるが、このときの間隙水圧という。

図-7は、図-5で示した粗粒砂の $\gamma_m=1.44$ での $U_d/U_r$ と $N$ との関係を各深さ別に表わしたものである。ここでこの衝撃下では図-5からも明らかのように砂層表面には出水は観察されなかた。また図中の $\gamma_m$ とは、それぞれ、各衝撃後の砂層の単位体積重量( $\text{t/m}^3$ )、表面から水圧計までの距離(cm)、底面から水圧計までの距離(cm)である。この図より、各層の $U_d/U_r$ は、Nが増加するにつれて減少し、N=5以上ではほぼ一定の値となっている。また $U_d/U_r$ は、各層とも除々に増加している。これに対し、図-8は、図-7と同様、 $\gamma_m=3.85$ の衝撃下での $U_d/U_r$ と $N$ との関係を示している。図-5からも明らかのように、この条件下ではN=6で砂層表面に出水が観察された。この図より、 $Z'=10, 20\text{cm}$ での $U_d/U_r$ は、Nの増加に対して減少しているが、 $Z'=30\text{cm}$ では $U_d/U_r$ は他と異なり、減少せずに約0.95の高い値を保っている。また $U_d/U_r$ は、 $Z'=10, 20\text{cm}$ では、図-7と同様の挙動を示しているが、 $Z'=30\text{cm}$ では、増加の割合が他よりも極端に多くなっている。以上の結果より、 $U_d/U_r$ が減少することは、Nの増加に応じて締固められていると考えられるが、 $U_d/U_r$ が減少せず高い値を保つことは、その層以上において、液状化が生じて砂粒子構造の変化が著しいと考えられる。出水する場合と、しない場合の $\rho_d-N$ 曲線の相異の原因は以上のように説明される。

#### 参考文献

- 1) 楠見、谷口、井上、吉川：不飽和砂の振動締固めについて、『土と基礎』1980, Vol.28, No.9
- 2) 楠見、谷口、井上：衝撃荷重による砂質土の締固めについて、第16回土質工学研究発表講演集

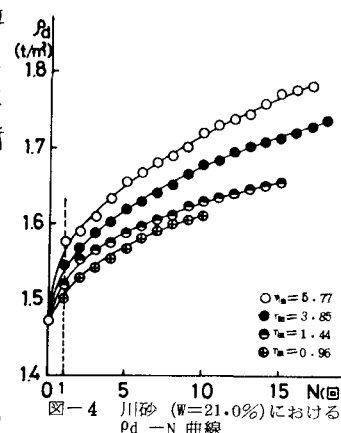


図-4 川砂 ( $w=21.0\%$ )における $\rho_d-N$ 曲線

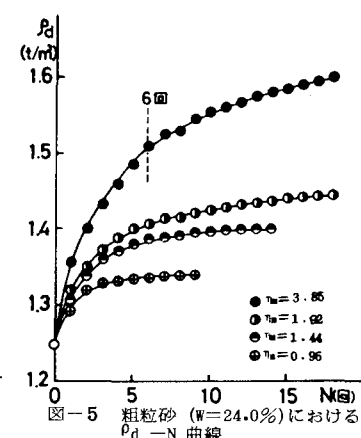


図-5 粗粒砂 ( $w=24.0\%$ )における $\rho_d-N$ 曲線

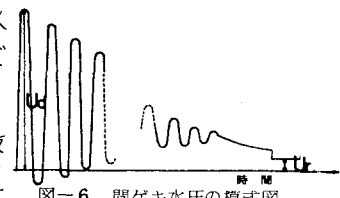


図-6 間隙水圧の模式図

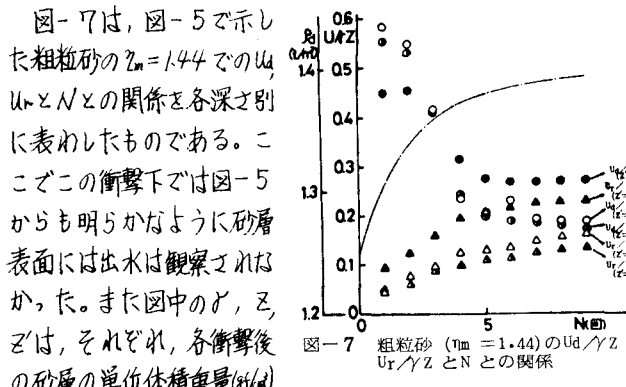


図-7 粗粒砂 ( $\gamma_m=1.44$ ) の $U_d/U_r$ と $N$ との関係

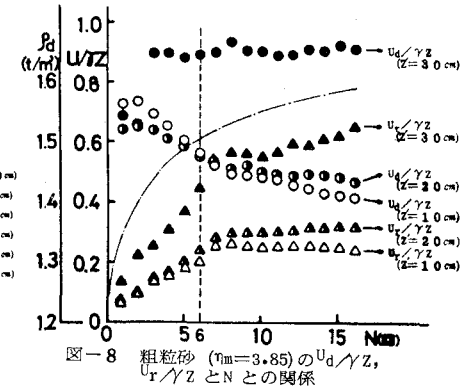


図-8 粗粒砂 ( $\gamma_m=3.85$ ) の $U_d/U_r$ と $N$ との関係